

## บทที่ 2

### ทฤษฎีและงานวิจัยที่เกี่ยวข้อง

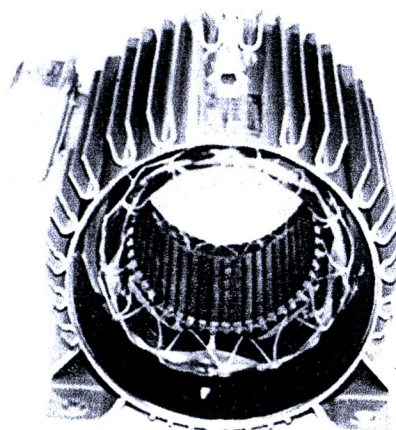
งานวิจัยทางด้านเครื่องจักรกลไฟฟ้าโดยเฉพาะงานด้านการวินิจฉัยความผิดปกติของ อินดักชัน มอเตอร์ ในปัจจุบันมีเทคนิคการวินิจฉัยความผิดปกติของอินดักชันมอเตอร์มากมาย ขึ้นอยู่กับความ เหนมาะสมกับการใช้งาน และความเหมาะสมในการตรวจสอบความผิดปกติที่เกิดขึ้นกับอินดักชันมอเตอร์ ในงานวิจัยนี้ได้ศึกษาเทคนิคการวินิจฉัยความผิดปกติของอินดักชันมอเตอร์ โดยมุ่งเน้นจากการเฝ้าสังเกต กระแสสเตเตอร์เพื่อบอกความผิดปกติที่เกิดขึ้น และวิเคราะห์ผลความผิดปกติของกระแสสเตเตอร์ที่ เกิดขึ้น ดังนั้นในบทนี้จะกล่าวถึงทฤษฎีพื้นฐานและงานวิจัยที่เกี่ยวข้อง (Theories and Literature - Review) สำหรับงานวิจัยนี้ โดยมีรายละเอียดดังต่อไปนี้

#### ทฤษฎีเกี่ยวกับอินดักชันมอเตอร์ 3 เฟส

##### 1. โครงสร้างของอินดักชันมอเตอร์ 3 เฟส

สามารถแบ่งออกได้เป็น 2 ส่วนคือ ส่วนของสเตเตอร์ (Stator) ซึ่งเป็นส่วนที่อยู่กับที่ และ ส่วนของโรเตอร์ (Rotor) ซึ่งเป็นส่วนที่มีการหมุน โดยแต่ละส่วนมีรายละเอียดดังต่อไปนี้

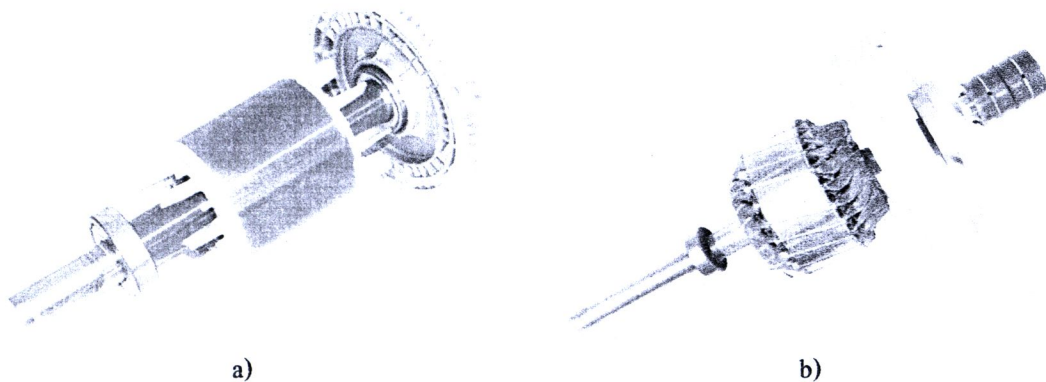
1.1 สเตเตอร์ เป็นส่วนที่อยู่นิ่งมีแกนเป็นแผ่นลามิเนทประกกัน ซึ่งทำมาจากเหล็กกล้า ซิลิกอน (Silicon steel) และมีคลวดสเตเตอร์ฟังตัวอยู่ในร่องสล็อตของแกนเหล็ก โดยคลวดสเตเตอร์จะ มีการพันขดลวดแบบกระชาญเพื่อทำให้เกิดการกระจายของสนามแม่เหล็กแบบไซนูซอยด์ (Sinusoidal) ซึ่ง รูปร่างของสเตเตอร์แสดงดังรูปที่ 2.1



รูปที่ 2.1 สเตเตอร์ของอินดักชันมอเตอร์ 3 เฟส

**1.2 โรเตอร์ เป็นโรเตอร์ชนิดไม่มีขั้วยื่น (Non-salient-pole) หรือชนิดทรงกระบอก (Cylindrical rotor) สามารถแบ่งออกได้เป็น 2 ประเภทดังนี้**

**1.2.1 โรเตอร์แบบกรงกระบอก (Squirrel cage rotor )** โรเตอร์ประเภทนี้ที่แกนของโรเตอร์จะทำด้วยเหล็ก laminated (Laminated Sheet Steel) ตรงกลางแผ่นจะเจาะรูสำหรับสอดเพลา เมื่อนำแผ่น laminated เหล่านี้มาอัดด้วยกันจะได้แกนโรเตอร์ เมื่อนำแกนโรเตอร์เข้าไปวางในแบบพิมพ์ (Mold) แล้วฉีดอุปกรณ์เนียมเหลวเข้าไปจะได้อุปกรณ์เนียมอัดแน่นอยู่ในร่องสล็อต และมีคริบยึดยันออกไปทั้งสองข้างเพื่อให้เป็นใบพัดสำหรับรับแรงความร้อน และเมื่ออัดเพลาเข้าไปที่รูกลางแกนโรเตอร์จะได้โรเตอร์แบบกรงกระบอกดังรูปที่ 2.2a)



รูปที่ 2.2 โรเตอร์ของอินดักชั่นมอเตอร์ 3 เฟส a) โรเตอร์แบบกรงกระบอก  
b) โรเตอร์แบบขดลวดพันรอบโรเตอร์

**1.2.2 โรเตอร์แบบขดลวดพันรอบโรเตอร์ (Wound rotor )** โรเตอร์ประเภทนี้มีขดลวดพันอยู่ในร่องสล็อตเข่นเดียวกับสเตเตเตอร์รูปที่ 2.2 b) โดยส่วนปลายของขดลวดจะต่ออยู่กับแหวนลื่น (Slip Ring) และมีแปรรูปค่าสัมผัสอยู่โดยประมาณจะถูกนำออกเพื่อทำการต่อวงจรแบบสตาร์ หรือเดลต้า มอเตอร์ที่มีโรเตอร์ประเภทนี้มีข้อจำกัดคือจะต้องมีจำนวนขั้วเท่ากับจำนวนขั้วของสเตเตเตอร์ และไม่สามารถด้วยความเร็วที่สูงมากได้เนื่องจากความแข็งแกร่งทางกลต่ำ นอกจ้านี้ยังมีราคาสูง เมื่อเปรียบเทียบกับโรเตอร์แบบกรงกระบอก แต่ข้อดีของโรเตอร์ประเภทนี้คือสามารถกำหนดแรงบิดขณะสตาร์ทได้โดยอาศัยการต่อความต้านทานภายนอก

## 2. หลักการทำงานของอินดักชั่นมอเตอร์ 3 เฟส

หลักการทำงานของอินดักชั่นมอเตอร์ 3 เฟส อาศัยการเหนี่ยวนำจากสเตเตเตอร์ไปสู่ โรเตอร์ โดยการป้อนแรงดันไฟฟ้าสามเฟสที่สเตเตเตอร์ สนามแม่เหล็กหมุนในช่องว่างอากาศจะถูกสร้างโดยกระแสไฟฟ้าที่ไหลในขดลวดที่พันอยู่ในร่องสล็อตของสเตเตเตอร์ และความเร็วของสนามแม่เหล็กหมุนขึ้นอยู่กับจำนวนขั้วแม่เหล็กของมอเตอร์และความถี่ของแรงดันไฟฟ้าของแหล่งจ่าย ดังสมการ 2.1

$$n_s = \frac{120f_e}{P} \quad (2.1)$$

เมื่อ  $n_s$  คือ ความเร็วชิงโกรนัส (rpm)

$f_e$  คือ ความถี่ของแหล่งจ่ายไฟฟ้า (Hz)

$P$  คือ จำนวนขั้วแม่เหล็กของมอเตอร์ (Pole)

การหมุนของโรเตอร์อาศัยหลักการเหนี่ยวนำคล้ายกับหม้อแปลงไฟฟ้า ทำให้เกิดแรงดันไฟฟ้าที่ด้านโรเตอร์ เมื่อตัวนำโรเตอร์ถูกลัดวงจรด้วยวงแหวน (End Ring) จึงทำให้เกิดกระแสไฟฟ้าไหลบริเวณด้านนำโรเตอร์ เมื่อมีกระแสไฟฟ้าไหลผ่านด้านนำไฟฟ้าที่วางอยู่ภายใต้สนามแม่เหล็กจะเกิดแรงขึ้นที่ด้านนำ ทำให้โรเตอร์สามารถหมุนได้

เมื่อโรเตอร์ของอินดักชันมอเตอร์หมุนคงที่ด้วยความเร็วรอบ  $n_m$  รอบต่อนาที มีพิเศษทางการหมุนทิศทางเดียวกับสนามแม่เหล็กหมุนในช่องว่างอากาศ  $k_s$  รอบต่อนาที โรเตอร์จะหมุนตามหลังความเร็วสนามแม่เหล็กหมุน  $n_s - n_m$  รอบต่อนาที หรือเรียกว่า ความเร็วสลิปของโรเตอร์ ดังนั้นค่าสลิปของโรเตอร์ คือ อัตราส่วนระหว่าง ความเร็วสลิปของโรเตอร์ต่อความเร็วสนามแม่เหล็กหมุน ดังสมการ (2.2)

$$s = \frac{n_s - n_m}{n_s} \quad (2.2)$$

ความถี่ของแรงคลื่นไฟฟ้าเหนี่ยวนำในด้านนำโรเตอร์ เมื่อโรเตอร์อยู่ในสภาพะอยู่กับที่ ความถี่ของโรเตอร์ (Rotor Frequency) จะมีค่าเท่ากับความถี่ของแหล่งจ่ายไฟฟ้าที่ป้อนให้กับมอเตอร์ เมื่อโรเตอร์หมุนด้วยความเร็ว  $n_m$  ความถี่ของโรเตอร์สามารถแสดงดังสมการ (2.3)

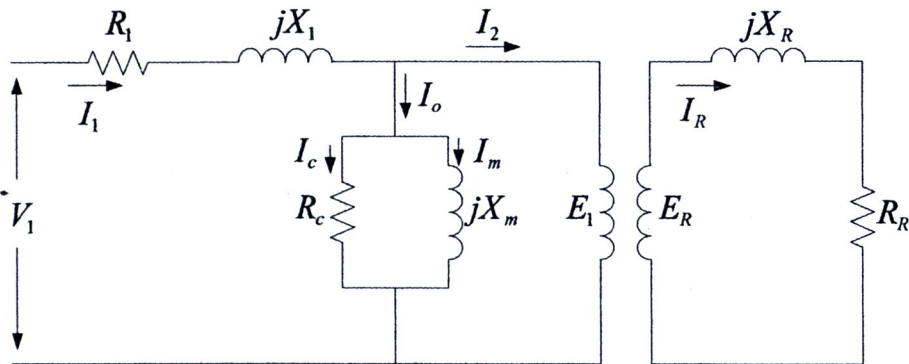
$$f_r = sf_e \quad (2.3)$$

เมื่อ  $f_e$  คือ ความถี่ของแหล่งจ่ายไฟฟ้า (Hz)

$f_r$  คือ ความถี่ของโรเตอร์ (Hz)

### 3. วงจรสมมูลของอินดักชันมอเตอร์ 3 เฟส

เนื่องจากอินดักชันมอเตอร์ 3 เฟส อาศัยหลักการทำงานเช่นเดียวกับหม้อแปลงไฟฟ้า จึงสามารถเขียนวงจรสมมูลคล้ายกับหม้อแปลงไฟฟ้า แต่แตกต่างที่ขดลวดทุติยกูนิของหม้อแปลงไฟฟ้านั้นไม่สามารถเคลื่อนที่เหมือนกับโรเตอร์ของอินดักชันมอเตอร์



รูปที่ 2.3 วงจรสมมูลของอินคักชั้นมอเตอร์ 3 เฟสขยะอยู่กับที่

เมื่อ  $R_1$  กือ ค่าความต้านทานของขดลวดสเตเตอร์

$R_R$  กือ ค่าความต้านทานของขดลวดโรเตอร์

$R_c$  กือ ค่าความต้านทานความสูญเสียของแกนเหล็ก

$X_1$  กือ ค่ารีแอคแทนซ์ร่วงไฟฟ้าในหลอดของขดลวดสเตเตอร์

$X_R$  กือ ค่ารีแอคแทนซ์ร่วงไฟฟ้าในหลอดของขดลวดโรเตอร์

$X_m$  กือ ค่ารีแอคแทนซ์ที่เกิดจากสนามแม่เหล็ก

$I_c$  กือ กระแสไฟฟ้าที่ทำให้เกิดกำลังสูญเสียในแกนเหล็ก

$I_m$  กือ กระแสไฟฟ้าที่สร้างสนามแม่เหล็ก

จากรูปที่ 2.3 สามารถเขียนวงจรสมมูลได้ใหม่โดยการขายค่าต่างๆ ที่เกิดขึ้นทางโรเตอร์ไว้ทางค้านสเตเตอร์เพื่อความสะดวกในการคำนวณและวิเคราะห์ดังรูปที่ 2.4 ซึ่งการขายไปนี้ไม่ได้ทำให้ค่าต่างๆ พิคพلاดไปจากความเป็นจริงมากนัก โดยจะต้องทราบค่าอัตราส่วนระหว่างจำนวนรอบของขดลวดสเตเตอร์กับโรเตอร์ (Turns Ratio: a) ซึ่งจะหาค่าต่างๆ ของวงจรสมมูลได้ดังนี้ กือ

$$E_1 = E'_R = aE_R \quad (2.4)$$

เมื่อ  $E_1$  กือ แรงดันไฟฟ้าขยะโรเตอร์อยู่กับที่ที่ขายนำขังค้านสเตเตอร์

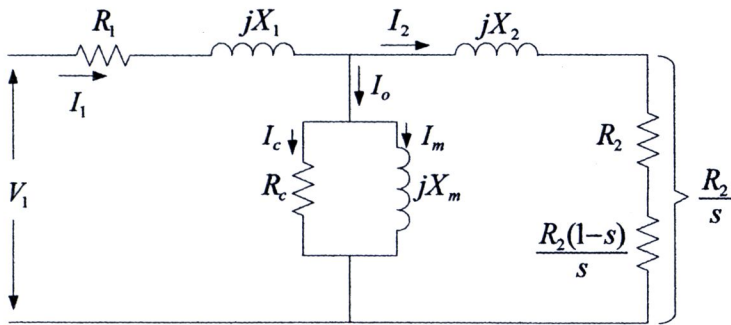
$$I_2 = \frac{I_R}{a} \quad (2.5)$$

เมื่อ  $I_2$  กือ กระแสไฟฟ้าของโรเตอร์ที่ขายคามาขังค้านสเตเตอร์

$$R_2 = a^2 R_R \quad (2.6)$$

$$X_2 = a^2 X_R \quad (2.7)$$

เมื่อ  $R_2$  คือ ความต้านทานของโรเตอร์ที่ขับค่ามายังด้านสเตเตอร์  
เมื่อ  $X_2$  คือ รีแอคเคนซ์ของโรเตอร์ที่ขับค่ามายังด้านสเตเตอร์



รูปที่ 2.4 วงจรสมมูลที่ขับค่าต่างๆ จากด้านโรเตอร์ไปด้านสเตเตอร์ที่ความเร็วใดๆ

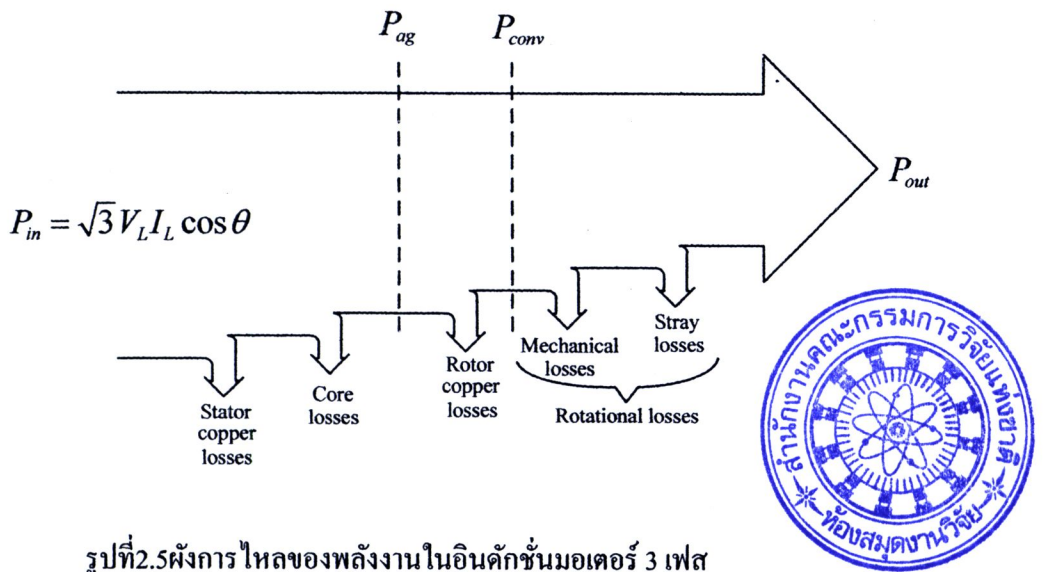
วงจรสมมูลต่อเฟสของอินเดกชั่นมอเตอร์ที่ความเร็วใดๆ แสดงดังรูปที่ 2.4 สามารถคำนวณหาค่ากระแสไฟฟ้าของมอเตอร์ ดังสมการ (2.8)

$$I_1 = \frac{V_1}{Z_{eq}} \quad (2.8)$$

$$\text{เมื่อ } Z_{eq} = R_1 + jX_1 + \frac{1}{\frac{R_c + jX_m}{R_c(jX_m)} + \frac{1}{R_2/s + jX_2}} \quad (2.9)$$

พิจารณาผังการไหลกำลังไฟฟ้า (Power-Flow) ของอินเดกชั่นมอเตอร์ชนิด 3 เฟสแสดงดังรูปที่ 2.5 เมื่อกำหนดให้

- $P_{in}$  คือ กำลังไฟฟ้าอินพุตที่จ่ายเข้าคลัวสเตเตอร์ของมอเตอร์ (Input Power)
- $P_{ag}$  คือ กำลังไฟฟ้าในช่องอากาศ (Air-gap Power)
- $P_{conv}$  คือ กำลังกลที่เกิดขึ้นกับโรเตอร์
- $P_{out}$  คือ กำลังเอาท์พุตที่เพลาของโรเตอร์ (Output Power)



รูปที่ 2.5 ผังการไหลของพลังงานในอินดักชั่นมอเตอร์ 3 เฟส

จากผังการไหลของพลังงานในรูปที่ 2.5 กำลังไฟฟ้าในช่องอากาศ (Air-gap Power) เกิดขึ้นจากผลต่างระหว่างกำลังไฟฟ้าอินพุต (Input Power) กับกำลังความสูญเสียของคลัวด สเตเตอร์ (Stator - Copper Losses) และกำลังความสูญเสียแกนเหล็ก (Core Losses)

$$P_{ag} = P_{in} - P_{scl} - P_{core} \quad (2.10)$$

เมื่อกำหนดให้  $P_{scl}$  และ  $P_{core}$  คือกำลังความสูญเสียของคลัวดสเตเตอร์ และกำลังความสูญเสียแกนเหล็ก ดังนี้

สำนักงานคณะกรรมการวิจัยแห่งชาติ
ห้องสมุดงานวิจัย
วันที่ 21.1.2555
เลขทะเบียน 191083
เลขเรียกหนังสือ

$$P_{scl} = 3I_1^2 R_1 \quad (2.11)$$

$$\text{และ } P_{core} = 3I_c^2 R_c \quad (2.12)$$

จากวงจรสมมูลของมอเตอร์รูปที่ 2.4 สามารถคำนวณหาค่ากำลังไฟฟ้าในช่องอากาศ (Air-gap Power) ดังสมการ (2.13)

$$P_{ag} = 3I_2^2 \frac{R_2}{S} \quad (2.13)$$

กำลังความสูญเสียของคลัวดโรเตอร์ (Rotor Copper Losses) หาได้จาก

$$P_{rd} = 3I_2^2 R_2 \quad (2.14)$$

จากสมการ (2.13) และ (2.14) สามารถจัดรูปกำลังความสูญเสียของขดลวด โรเตอร์อยู่ในเทอมของกำลังไฟฟ้าในช่องอากาศ ดังสมการ (2.15)

$$P_{rel} = sP_{ag} \quad (2.15)$$

กำลังกลที่เกิดขึ้นกับโรเตอร์ คือผลต่างระหว่างกำลังไฟฟ้าในช่องอากาศกับกำลังสูญเสียของขดลวด โรเตอร์ ดังนี้

$$P_{conv} = (1 - s) P_{ag} \quad (2.16)$$

เมื่อทราบค่ากำลังกลของโรเตอร์ จากสมการ (2.16) และค่าความเร็วเชิงมุมมอเตอร์แล้ว สามารถคำนวณหาค่าแรงบิดเหนี่ยวนำที่เพลาของโรเตอร์ (Induced Torque) ดังนี้

$$\tau_{ind} = \frac{P_{conv}}{\omega_m} \quad (2.17)$$

เนื่องจากค่ากำลังสูญเสียเนื่องจากการหมุน (Rotational Losses) สามารถคำนวณได้จากการทดสอบมอเตอร์ในสภาวะไม่มีโหลด (No-load Test) ดังนั้นสามารถคำนวณหาค่ากำลังเอาท์พุต (Output Power) ได้ดังสมการ

$$P_{out} = P_{conv} - P_{mech} - P_{stray} \quad (2.18)$$

เมื่อทราบค่ากำลังเอาท์พุตของมอเตอร์และค่าความเร็วเชิงมุมมอเตอร์แล้ว สามารถคำนวณหาค่าแรงบิดที่เพลาโรเตอร์ (Shaft Torque or Load Torque) ได้จากสมการ

$$\tau_{shaft} = \frac{P_{out}}{\omega_m} \quad (2.19)$$

หลังจากทราบค่ากำลังอินพุตที่ป้อนให้กับมอเตอร์และกำลังเอาท์พุตของมอเตอร์ สามารถคำนวณหาค่าประสิทธิภาพของมอเตอร์ (Efficiency:  $\eta$ ) ได้ดังสมการ

$$\eta = \frac{P_{out}}{P_{in}} \quad (2.20)$$

## การวิเคราะห์ความผิดปกติในมอเตอร์ (Motor Failure Analysis)

มอเตอร์นับเป็นอุปกรณ์ที่สำคัญสำหรับเครื่องจักรต่างๆ เนื่องจากการทำหน้าที่เป็นหัวต้นกำลัง โดยแบ่งพลังงานไฟฟ้าเป็นพลังงานกลเพื่อขับให้ลูกต่างๆ ดังนั้นการวินิจฉัยความผิดปกติของมอเตอร์ จึงมีความจำเป็นเพื่อต้องการทราบสาเหตุความผิดปกติของมอเตอร์ก่อนที่จะได้รับความเสียหายที่รุนแรง ซึ่งรายละเอียดจะกล่าวในหัวข้อนี้ โดยจะแบ่งออกเป็น 3 ส่วน ดังต่อไปนี้

### 1. ความเสียของมอเตอร์

ความเสียหายของอินดักชันมอเตอร์ประกอบด้วย ความเสียหายทางกล และความเสียหายของฉนวนซึ่งความเสียหายของฉนวน (Insulation system failure) คิดเป็น 5 เปอร์เซ็นต์ของความเสียหายทั้งหมด มีสาเหตุจาก ความชื้น (Moisture), อุณหภูมิสูง (Over-temperature), ระบบไฟฟ้าไม่เสถียร (System surge), และการลัดวงจร (Faulty earth) ความเสียหายทางกล (Mechanical failures) เป็นความผิดปกติที่เกิดขึ้นบ่อยกับอินดักชันมอเตอร์ เช่น ความผิดปกติของสเตเตอร์ผลเกิดจากการเบิดวงจรของขดลวดสเตเตอร์ (Stator faults), ตัวนำโรเตอร์แตกหรือ วงแหวนโรเตอร์แตก (Broken rotor bars or - Cracked rotor end rings), บริเวณซ่องว่างอากาศไม่สม่ำเสมอ (Air-gap irregularities), เพลาโค้ง (Bent - shaft), การเอียงศูนย์ (Misalignment), และความเสียหายของแบร์ริง (Bearing failures) ความเสียหายที่เกิดขึ้นกับอินดักชันมอเตอร์จะแสดงอาการออกมาในหลายรูปแบบ อาทิ เช่น ความไม่สมดุลของแรงดัน และกระแส, เพิ่มการสั่นสะเทือนของทอร์ค และผลของค่าเฉลี่ยทอร์คคลดลง, มอเตอร์มีความสูญเสียเพิ่มขึ้น ส่งผลให้เกิดความร้อนสูงขึ้น และประสิทธิภาพลดลง, สารโนนิคของกระแสเพิ่มขึ้น, เกิดการร้าวไอลของฟลักซ์แม่เหล็ก [3]

### 2. การวินิจฉัยความผิดปกติของมอเตอร์

การวินิจฉัยความผิดปกติที่เกิดขึ้นกับอินดักชันมอเตอร์นั้นมีด้วยกันหลากหลายวิธี เช่น การวัดค่าชาร์จบางส่วน (Partial discharge measurement), การวิเคราะห์สัญญาณกระแส ของมอเตอร์ (MCSA), การวิเคราะห์ทางเคมี (Chemical analysis), การเฝ้าสังเกตการสั่นสะเทือน (Vibration - monitoring), การเฝ้าสังเกตสนามแม่เหล็ก (Electromagnetic field monitoring) จากตาราง 2.1 แสดงการเปรียบเทียบเทคนิคการตรวจสอบความเสียหายของมอเตอร์ พบว่าแต่ละเทคนิคการตรวจสอบจะมีความสามารถในการตรวจสอบความผิดปกติที่แตกต่างกันขึ้นอยู่กับต้องการตรวจสอบความผิดปกติที่เกิดขึ้นประเภทใดซึ่งวิทยานิพนธ์นี้พิจารณา เทคนิคการวิเคราะห์กระแสสเตเตอร์ เพื่อตรวจสอบความผิดปกติของมอเตอร์ที่มีสาเหตุจากตัวนำโรเตอร์แตก (Broken Bars) และความผิดปกติของแบร์ริง (Bearing - Fault) [3]

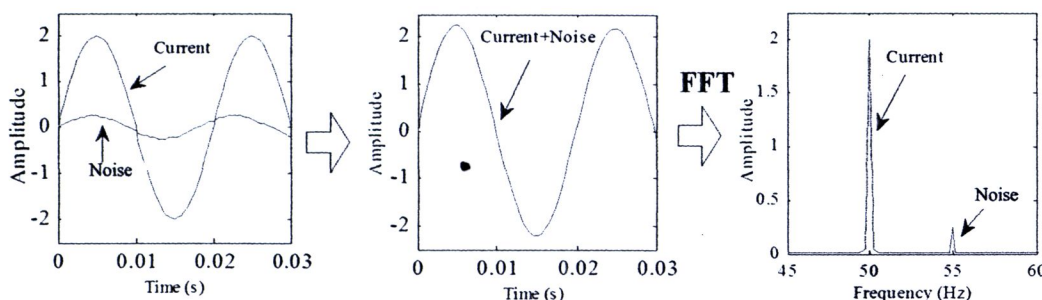
ตาราง 2.1 แสดงการเปรียบเทียบเทคนิคการตรวจสอบความเสี่ยงของมอเตอร์ [3]

วิธีการ	จำนวน	ความพิเศษ		
		ขดลวดสเตเตอร์	ตัวนำโรเตอร์	แม่ริ่ง
ดิฟเฟอเรนเชียล	✓			
กระแสสเตเตอร์		✓	✓	✓
ก้าช	✓	✓	✓	
การสั่นสะเทือน			✓	✓
ฟลักซ์เมเปลี่ก		✓	✓	

### 3. การวิเคราะห์สัญญาณกระแสของมอเตอร์ (Motor Current Signature Analysis)

ปัจจุบันการตรวจสอบความพิเศษของอินดักชันมอเตอร์ ด้วยการวิเคราะห์สัญญาณกระแสของมอเตอร์ เป็นที่รู้จักกันดีสำหรับนักวิจัยในการการศึกษา และอุตสาหกรรม เนื่องจากสามารถใช้บ่งบอกความพิเศษของมอเตอร์ คล้ายกับวิธีการตรวจสอบอื่นๆ เช่น การวัดการสั่นสะเทือนที่เกิดขึ้น (Vibration) และมีความน่าเชื่อถือ ที่สำคัญไม่จำเป็นต้องมีอุปกรณ์เสริมเข้าไปในการทำงานของมอเตอร์สามารถนำสัญญาณกระแสที่จ่ายให้กับมอเตอร์นำมาวิเคราะห์เพื่อตรวจสอบความพิเศษได้ทันทีวิธีการวิเคราะห์สัญญาณกระแสของมอเตอร์มีหลักวิธี [3, 4]

**3.1 การแปลงฟูรีเยร์แบบเร็ว (Fast Fourier Transform: FFT)** เป็นวิธีการแปลงสัญญาณที่มีความในโคล เมนเวลาให้อยู่ในโคล เมนความถี่ ซึ่งสัญญาณกระแสของมอเตอร์เป็นสัญญาณที่มีความและแปรผันตามเวลา เมื่อมอเตอร์เริ่มนิความพิเศษที่เกิดขึ้นในมอเตอร์จะมีสัญญาณรบกวน (Noise) ประปันอยู่ในสัญญาณกระแส ซึ่งสัญญาณกระแสในโคล เมนเวลาไม่สามารถบ่งบอกความพิเศษที่เกิดขึ้นได้ ดังนั้นการแปลงฟูรีเยร์แบบเร็วเป็นวิธีหนึ่งที่สามารถแสดงให้เห็นว่าสัญญาณกระแสของมอเตอร์มีสัญญาณรบกวนเกิดขึ้นในเทอมของขนาดและความถี่ ดังรูปที่ 2.6



รูปที่ 2.6 สัญญาณคลื่นชานย์กับการแสดงเทียบในแกนเวลาและแกนความถี่

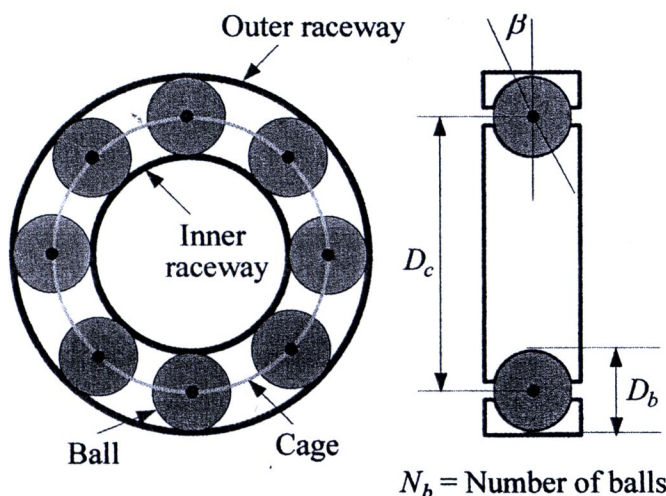
**3.1.1 สเปคตรัมที่เกิดขึ้นเมื่อตัวนำโรเตอร์แตก (Broken Bars)** เมื่อตัวนำโรเตอร์แตก (Broken rotor bars) ส่งผลให้เกิดความถี่สารโนนิคที่กระแสสแตเตอร์บีเวฟรอบๆ ความถี่ของแหล่งจ่าย ดังสมการ (2.21) [3, 4, 5, 6, 7, 8, 9, 10, 11]

$$f_{sb} = (1 \pm 2ks)f_e \quad (2.21)$$

เมื่อ  $f_{sb}$  คือ ความถี่ที่เกิดจากแหล่งจ่าย,  $f_e$  คือ ความถี่ของแหล่งจ่าย,  $s$  คือ ค่าสลิปของมอเตอร์ และ  $k = 1, 2, 3, \dots$  จากความถี่ที่ปรากฏในกระแสสแตเตอร์เมื่อแหล่งจ่ายตัวนำโรเตอร์แตกสามารถที่จะตรวจสอบความเสียหายที่เกิดขึ้นก่อนจะเกิดความเสียหายที่รุนแรง

### 3.1.2 สเปคตรัมที่เกิดขึ้นจากความผิดปกติของแบร์ริง (Bearing Faults)

ความเสียหายที่เกิดขึ้นจากแบร์ริงมีหลากหลายรูปแบบ แต่ละรูปแบบจะส่งผลให้ปรากฏความถี่ของการสั่นสะเทือน (Vibration) ที่แตกต่างกันขึ้นอยู่กับโครงสร้างของชนิดแบร์ริงที่ใช้งาน รูปที่ 2.7 แสดงโครงสร้างของแบร์ริงในอินดักชั่นมอเตอร์ และพารามิเตอร์สำคัญที่ใช้คำนวณหาความถี่ของการสั่นสะเทือนของความเสียหายที่เกิดขึ้น



รูปที่ 2.7 โครงสร้างของแบร์ริงในอินดักชั่นมอเตอร์ [13]

คุณลักษณะของความถี่ของการสั่นสะเทือนที่เกิดขึ้น เนื่องจากความเสียหายของแบร์ริง สามารถแบ่งตามชนิดความเสียหายที่เกิดขึ้นดังนี้ [12, 13, 14, 15, 16, 17, 18]

ความเสียหายเนื่องจากการองลื่นค้านอก (Outer Raceway):

$$f_o = \frac{N_b}{2} f_r \left( 1 - \frac{D_b}{D_c} \cos \beta \right) \quad (2.22)$$



ความเสียหายเนื่องจากองลี่นด้านใน (Inner Raceway):

$$f_i = \frac{N_b}{2} f_r \left( 1 + \frac{D_b}{D_c} \cos \beta \right) \quad (2.23)$$

ความเสียหายเนื่องจากโครงขีดลูกปืน (Cage):

$$f_c = \frac{1}{2} f_r \left( 1 - \frac{D_b}{D_c} \cos \beta \right) \quad (2.24)$$

จากความถี่การสั่นสะเทือนที่เกิดขึ้นกับมอเตอร์เมื่อเกิดความเสียหายต่อเบริ่ง จะส่งผลให้เกิดความถี่หาร์โมนิกที่กระแสเดตเตอร์ ดังสมการ (2.25)

$$f_{bf} = |f_e \pm k f_c| \quad (2.25)$$

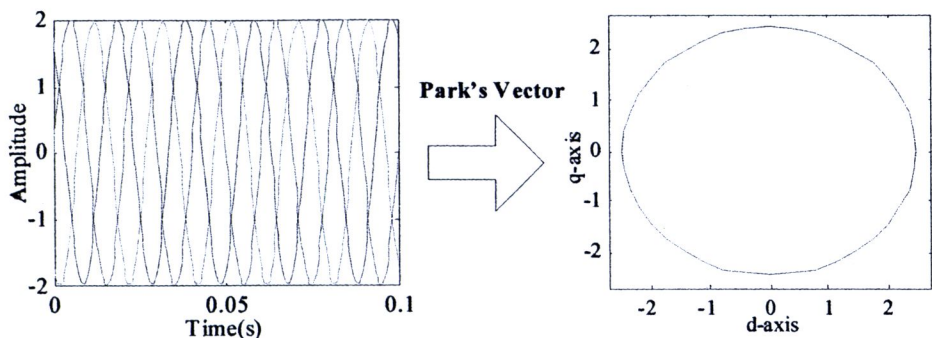
เมื่อ  $f_{bf}$  คือ ความถี่ที่เกิดจากความเสียหายของเบริ่ง,  $f_e$  คือ ความถี่ของแหล่งจ่าย,  $f_c$  คือ ความถี่ของชนิดความเสียหาย ตามสมการ (2.22)-(2.24) และ  $k = 1, 2, 3, \dots$  จากความถี่ที่ปรากฏในกระแสเดตเตอร์สามารถใช้ตรวจสอบความเสียหายของเบริ่ง และสามารถบ่งบอกชนิดของความเสียหายที่เกิดขึ้น ซึ่งช่วยในการตัดสินใจในการซ่อมบำรุงรักษาที่ถูกวิธี

3.2 วิธีเวกเตอร์ปาร์ค (Park's Vector Approach) เป็นวิธีที่มีความสามารถในการวินิจฉัยอินดักชั่นมอเตอร์ 3 เฟส โดยการแปลงสัญญาณกระแสเดตเตอร์ 3 เฟสให้เหลือเพียงองค์ประกอบของเวกเตอร์ปาร์ค บนแกน d และแกน q ที่สามารถใช้วินิจฉัยความผิดปกติที่เกิดขึ้นจากการแปลงกระแสเดตเตอร์ของอินดักชั่นมอเตอร์ 3 เฟส ให้อยู่ในองค์ประกอบของเวกเตอร์ปาร์คแสดงดังสมการ (2.26)-(2.27)[16, 17, 18, 19]

$$i_d = \sqrt{\frac{2}{3}} i_a - \frac{1}{\sqrt{6}} i_b - \frac{1}{\sqrt{6}} i_c \quad (2.26)$$

$$i_q = \frac{1}{\sqrt{2}} i_b - \frac{1}{\sqrt{2}} i_c \quad (2.27)$$

เมื่ออินดักชั่นมอเตอร์ 3 เฟสเกิดความเสียหายขึ้น เช่น เกิดความผิดปกติบริเวณเบริ่ง (Bearing Faults), ตัวนำໄรมเตอร์แตก (Broken Bars) องค์ประกอบของเวกเตอร์ปาร์คที่เกิดขึ้นจากการแปลงของสัญญาณกระแสจะมีรูปร่าง และลักษณะขององค์ประกอบ บนแกน d และแกน q ที่แตกต่างไปจากอินดักชั่นมอเตอร์ที่ไม่ได้รับความเสียหาย ซึ่งการแปลงสัญญาณกระแส 3 เฟสอยู่ในองค์ประกอบของเวกเตอร์ปาร์ค บนแกน d และแกน q แสดงดังรูปที่ 2.8



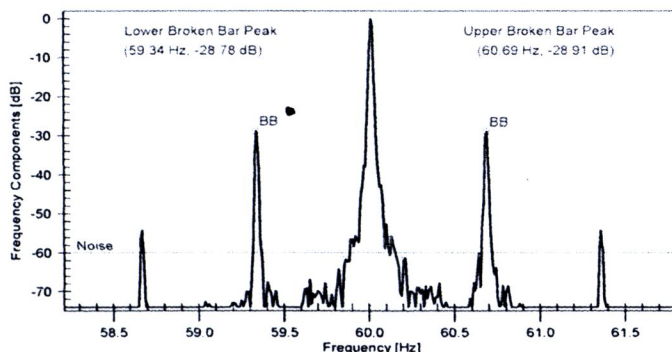
รูปที่ 2.8 การแปลงสัญญาณกระแส 3 เฟส อยู่ในองค์ประกอบของเวกเตอร์ปาร์ก

### งานวิจัยที่เกี่ยวข้อง

อินดักชันมอเตอร์ได้ถูกใช้งานทั่วไปอย่างแพร่หลาย ทำให้นักวิจัยหลายท่านสนใจงานวิจัยเกี่ยวกับการวิเคราะห์ความผิดปกติของมอเตอร์ เนื่องจากการตรวจพบความผิดปกติของมอเตอร์ก่อนการเสียหายที่รุนแรงจะส่งผลดีทางด้านอุตสาหกรรม ซึ่งงานวิจัยที่เกี่ยวข้องกับการวิเคราะห์ความผิดปกติของมอเตอร์มีหลากหลาย โดยมีนักวิจัยทั่วโลกที่สนใจ ไฟฟ้าและวิศวกรรมเครื่องกลพัฒนาวิเคราะห์และสังเคราะห์ความผิดปกติต่างๆ ที่เกิดขึ้นกับมอเตอร์ไฟฟ้า โดยแบ่งออกตามส่วนประกอบที่สำคัญและมักจะพบความเสียหายอยู่บ่อยๆ เช่น แบร์ริง (Bearing) ตัวนำโรเตอร์ (Rotor Bar) ชุดลวดสเตเตอร์ (Stator Winding) และมีการใช้เทคนิคการวิเคราะห์กระแสสเตเตอร์ในมอเตอร์ในการวิเคราะห์ความผิดปกติต่างๆ โดยเฉพาะอย่างยิ่งความเสียหายของตัวนำโรเตอร์ในอินดักชันมอเตอร์ พร้อมแสดงความสัมพันธ์ของความถี่ที่เกิดขึ้นเนื่องจาก ความผิดปกติในมอเตอร์ ดังสมการ (2.28) แสดงความถี่ในกระแสสเตเตอร์ที่สามารถคำนวณ  $f_b$  ซึ่งเกี่ยวข้องกับความเร็วมอเตอร์และความถี่ของแหล่งจ่าย [3, 4, 5, 6]

$$f_b = (1 \pm 2s)f_e \quad (2.28)$$

โดยที่  $f_e$  คือ ความถี่ของแหล่งจ่ายไฟฟ้า,  $s$  คือ ค่าสลิปของมอเตอร์



รูปที่ 2.9 สเปกตรัมกระแสของมอเตอร์ปั๊มเมื่อตัวนำโรเตอร์เสียหาย [6]

จากนั้นความที่กล่าวมาแสดงให้เห็นว่า สามารถนำกระแสสเตเตอ์มานิวเคราะห์เพื่อรับความผิดปกติของมอเตอร์ได้ ดังแสดงในรูปที่ 2.9 แสดงสเปคตรัมกระแสสเตเตอ์ของมอเตอร์บีมเมื่อเกิดความผิดปกติของตัวนำโรเตอร์พบว่าสเปคตรัมกระแสสเตเตอ์ จะปรากฏสาร์โนนิคบริเวณรอบความถี่มูลฐาน จะอยู่ในขอบขององค์ประกอบแบบด้านล่าง (lower sideband, LSB) และแบบด้านบน (upper sideband, -USB)

งานที่สนับสนุนการวิเคราะห์ความผิดปกติของตัวนำโรเตอร์ โดยทีมงานวิจัยที่ประกอบด้วย Gennadi Y. Sizov, Ahmed Sayed-Ahmed, Chia-Chou Yeh, Nabeel A. O. Demerdash [7] งานวิจัยดังกล่าวได้ศึกษา ผลกระทบของตำแหน่งตัวนำโรเตอร์เสียหาย โดยใช้เทคนิคการวินิจฉัยสเปคตรัมกระแสสเตเตอ์ (MCSA) และสามารถแม่เหล็กแกว่ง (Magnetic Field Pendulous Oscillation, MFPO) แสดงให้เห็นว่า เมื่อตัวนำโรเตอร์แตกลักษณะติดกัน ผลของ MCSA/MFPO แสดงออกให้เห็นอย่างชัดเจน แต่เมื่อตัวนำโรเตอร์แตก 2 ตัวนำที่ตำแหน่งระยะครึ่งโคล (Half Pole-Pitch) ผลการวินิจฉัยทั้ง MCSA/MFPO จะไม่สามารถบ่งบอกความผิดปกติที่เกิดขึ้นได้ ซึ่งแสดงดังรูปที่ 2.10 เป็นการเปรียบเทียบผลของตำแหน่งความเสียหายที่เกิดขึ้น

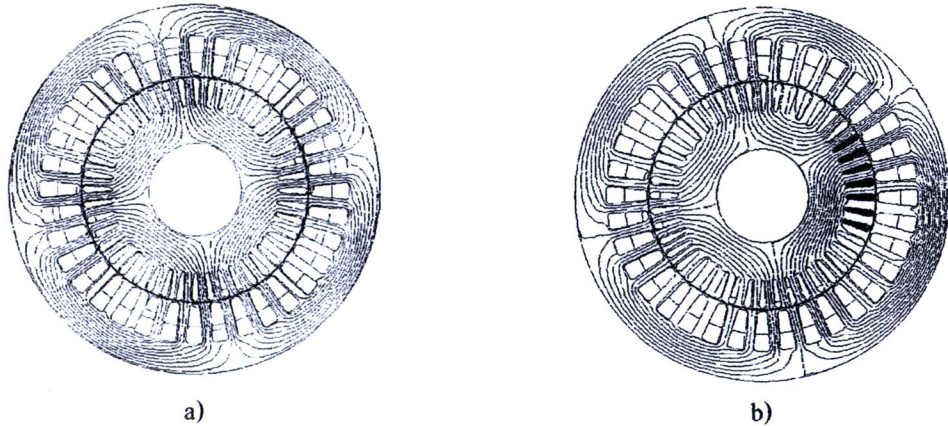
		MCSA		MFPO	LIKELIHOOD
ADJACENT		No Fault Masking LSB <sub>2sf</sub> and USB <sub>2sf</sub> at $(l \pm 2s)f_{syn}$	No Fault Masking $\Delta\delta_l$ at $2sf_{syn}$	Most Frequent	
NONADJACENT	Half Pole-Pitch (90° electrical)	$N_b$ - even	<b>Fault Masked</b> Secondary fault effects result in: LSB <sub>4sf</sub> and USB <sub>4sf</sub> at $(l \pm 4s)f_{syn}$	<b>Fault Masked</b> Secondary fault effects result in: $\Delta\delta_l$ at $4sf_{syn}$	Possible $N_b-2$ (machines with low number of rotor bars per pole)
	One Pole-Pitch (180° electrical)	$N_b$ - odd	<b>Fault Partially Masked</b> LSB <sub>2sf</sub> and USB <sub>2sf</sub> corresponding to one broken bar	<b>Fault Partially Masked</b> $\Delta\delta_l$ at $2sf_{syn}$ corresponding to one broken bar	Unlikely
		$N_b$ - even or odd	<b>No Fault Masking</b> LSB <sub>2sf</sub> and USB <sub>2sf</sub> at $(l \pm 2s)f_{syn}$	<b>No Fault Masking</b> $\Delta\delta_l$ at $2sf_{syn}$	Unlikely

$N_b$ —number of broken bars

รูปที่ 2.10 การเปรียบเทียบผลของตำแหน่งความเสียหายที่เกิดขึ้น [7]

นักวิจัยหลายท่านมีการใช้วิธีไฟไนต์เอลิเมนต์ (Finite element method, FEM) เนื่องจากเป็นวิธีที่ประยุกต์ใช้ในปัญหาทางวิทยาศาสตร์และวิศวกรรมที่ซับซ้อน ข้อดีของวิธีไฟไนต์เอลิเมนต์คือสามารถแสดงคำตอบบางอย่างที่ซับซ้อน ซึ่งในอดีตอาจเป็นการยากที่จะอธิบายได้ ตัวอย่างเช่น การถ่ายเทความร้อน การเคลื่อนที่ของไอล สามารถแม่เหล็กไฟฟ้า หรือคุณสมบัติทางกายภาพของชิ้นงาน เป็นต้น อีกทั้งเป็นการประหยัดเวลาและต้นทุนการวิจัยโดยการจำลองรูปแบบหรือสภาพต่างๆ ของวัสดุที่ต้องการ

ทดสอบ เพราะในการศึกษาหรือทำวิจัยบางอย่างการทำด้านแบบเพื่อนำมาทดสอบอาจมีราคาแพงและมีความยุ่งยาก ทำให้วิธีไฟไนต์อเลิเมนต์เป็นที่นิยมอย่างรวดเร็ว ส่งผลให้งานทางด้านการวิเคราะห์ความผิดปกติของมอเตอร์ใช้วิธีไฟไนต์อเลิเมนต์ในระบบหลังมีความนิยมเป็นอย่างมาก เนื่องจากสามารถแสดงผลความผิดปกติที่เกิดขึ้นทางกายภาพ เช่น ความผิดปกติสนามแม่เหล็กที่เกิดขึ้น (รูปที่ 2.11), กระแสที่ไหลภายในตัวนำโรเตอร์, แรงแม่เหล็กที่จำบันตัวนำ (Magnetic Force Distribution of the Bars) เป็นต้น ซึ่งสามารถบ่งบอกความผิดปกติต่อ สมรรถนะของมอเตอร์ได้ชัดเจน [8, 9, 10, 11]

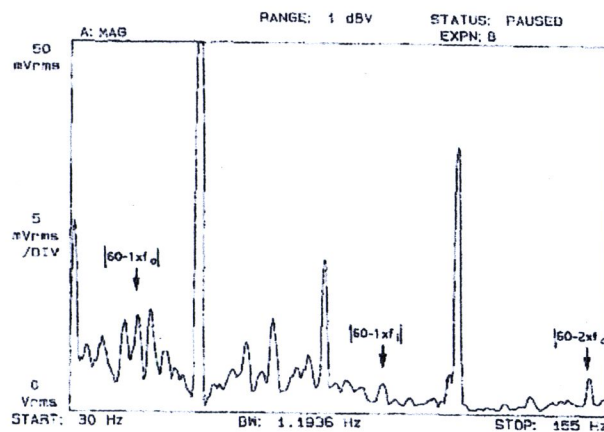


รูปที่ 2.11 สนามแม่เหล็กที่จ่ายในมอเตอร์ a) มอเตอร์ปักติ b) 7 ตัวนำแทก [8]

งานวิจัยที่เกี่ยวข้องกับการวิเคราะห์ความผิดปกติเนื่องจากความเสียหายของแบร์ริง (Bearing - Fault) มีนักวิจัยทางด้านสาขาวิศวกรรมไฟฟ้าได้มีความพยายามใช้เทคนิคการวินิจฉัยโดยใช้กระแสสเตเตอร์สำหรับวิเคราะห์ความผิดปกติที่เกิดขึ้นแทนการวิเคราะห์การสั่นสะเทือน ริบบ์ตันด้วยทีมงานวิจัยของ Randy R. Schoen, Thomas G. Habetler, Farrukh Kamran, และ Robert G. Bartheld [12] บทความนี้กล่าวถึงการใช้กระแสของขาด漉สเตเตอร์ในมอเตอร์ช่วยในการวิเคราะห์ความเสียหายของแบร์ริงในอินดักชั่นมอเตอร์ และได้แสดงความสัมพันธ์ของความถี่ที่จะปรากฏขึ้นเมื่อเกิดความเสียหายต่อแบร์ริง ดังสมการ (2.29)

$$f_{bng} = |f_e \pm m.f_v| \quad (2.29)$$

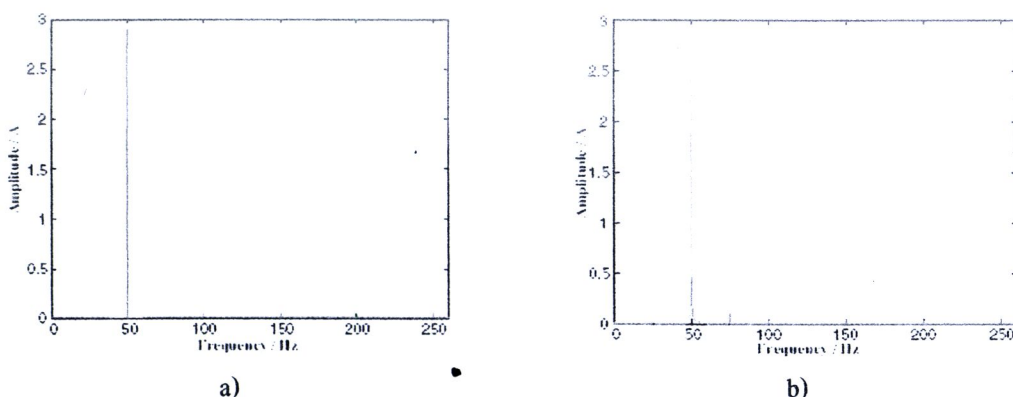
โดย  $f_e$  คือ ความถี่ของแหล่งจ่ายไฟฟ้า,  $f_v$  คือ คุณลักษณะความถี่ของความเสียหาย,  $m = 1, 2, 3, \dots$  ภาพ 2.12 แสดงสถาปัตยกรรมกระแสสเตเตอร์เมื่อแบร์ริงทั้ง 2 ข้างของอินดักชั่นมอเตอร์ได้รับความเสียหาย ความถี่ 30 เฮิร์ทซ์ ถึง 155 เฮิร์ทซ์ขณะมอเตอร์ทำงาน ให้เห็นพิเศษพูนว่าสถาปัตยกรรมกระแสสเตเตอร์จะปรากฏขึ้นที่บริเวณความถี่ที่ได้คำนวณตามสมการ (2.29)



รูปที่ 2.12 สเปกตรัมกระแสสเตเตอเรียมีอแบบริงเสียงหาย [12]

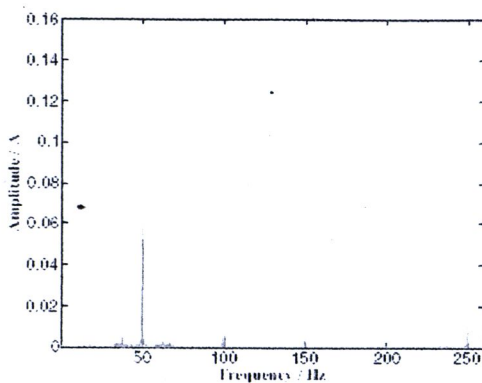
จากบทความของทีมงานวิจัย Randy R. Schoen และคณะ ได้นำเสนอเทคนิคการวินิจฉัยความเสียงหายของแบบริงโดยใช้กราฟกระแสสเตเตอเรอร์ ทำให้นักวิจัยหลายท่านมีความสนใจและเกิดการพัฒนางานวิจัยทางด้านความเสียงหายของแบบริงดังนี้

S. Liling and X. Boqiang [13] เสนอวิธีการปรับปรุงกระแสสเตเตอเรอร์สำหรับตรวจสอบความเสียงหายแบบริงของอินดักชันมอเตอร์ ได้แสดงผลการทดลองในห้องปฏิบัติการขณะที่ไม่มีการปรับปรุงกระแสสเตเตอเรอร์โดยการแปลงฟูรีเยร์ (Fourier Transform) เปรียบเทียบกับกระแสสเตเตเตอเรอร์ที่มีการปรับปรุงโดยใช้อัลกอริทึมตัวกรองแบบปรับตัวเอง (Self-Adaptive Filter) รูปที่ 2.13 แสดงสเปกตรัมของกระแสสเตเตอเรอร์ขณะที่ไม่ได้ปรับปรุง พบว่ากระแสสเตเตอเรอร์เมื่อเกิดความเสียงหายต่อแบบริง ไม่ให้ผลที่แตกต่างอย่างชัดเจนเมื่อเทียบกับมอเตอร์ปกติทำให้ยากต่อการวินิจฉัย

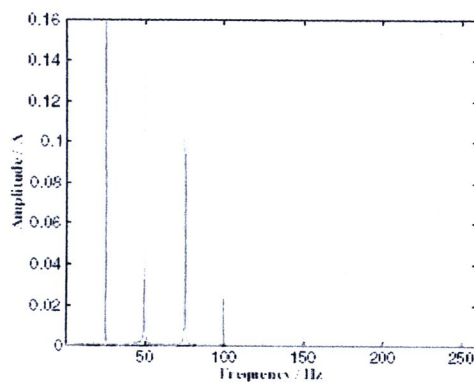


รูปที่ 2.13 สเปกตรัมกระแสสเตเตอเรอร์ไม่ได้ปรับปรุง a) มอเตอร์ปกติ b) แบบริงเสียงหาย [13]

รูปที่ 2.14 แสดงสเปกตรัมกระแสสเตเตอเรอร์ที่มีการปรับปรุง พบว่ากระแสสเตเตอเรอร์ของอินดักชันมอเตอร์เมื่อเกิดความเสียงหายต่อแบบริงให้ผลที่แตกต่างอย่างชัดเจนจากมอเตอร์ปกติ ซึ่งให้ผลการวิเคราะห์ความผิดปกติของแบบริงด้วยการใช้กระแสสเตเตอเรอร์มีประสิทธิภาพมากขึ้น



a)



b)

รูปที่ 2.14 สเปกตรัมกระแสสเตเตอร์ที่ปรับปรุง a) มอเตอร์ปกติ b) แบร์จเสียหาย [13]

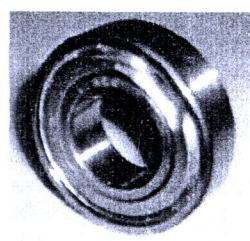
L. Frosini, et al. [14]เสนอวิธีการวิเคราะห์กระแสสเตเตอร์สำหรับการตรวจส่วนความเสียหายของแบร์จ โดยมีรูปแบบความเสียหายของแบร์จที่นำเสนอ 4 ชนิด ดังรูปที่ 2.15 ซึ่งรูปแบบความเสียหายของแบร์จทั้ง 4 ชนิดจะนำไปใช้ในการทดลองในห้องปฏิบัติการ และเปรียบเทียบสเปกตรัมกระแสสเตเตอร์ที่เกิดขึ้นแต่ละรูปแบบความเสียหายที่นำเสนอ ขณะมอเตอร์ทำงานสภาวะไร้โหลด (No Load) และมอเตอร์ทำงานโหลดเต็มพิกัด (Full Load)



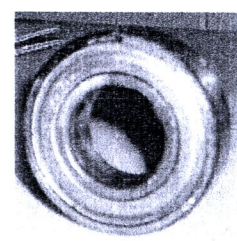
a)



b)



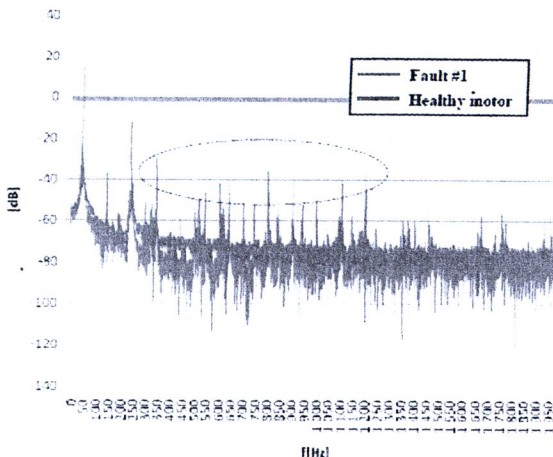
c)



d)

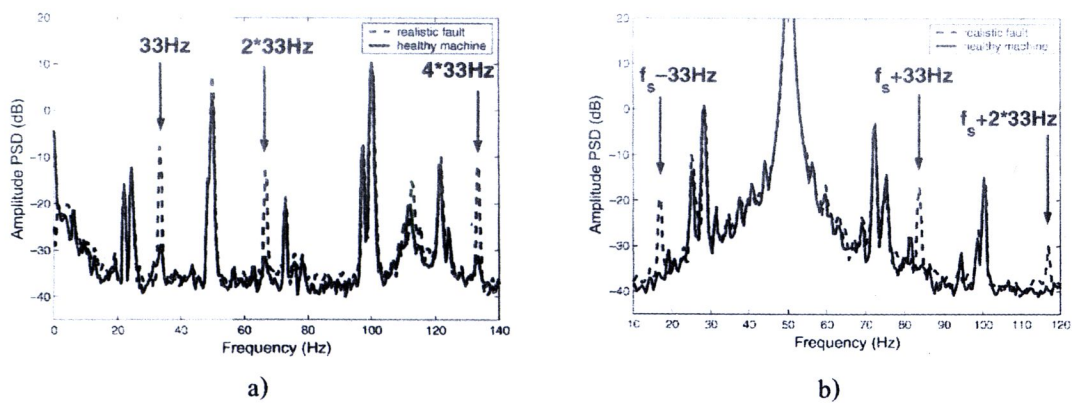
รูปที่ 2.15 ชนิดความเสียหายของแบร์จ ในอินดักชันมอเตอร์ a) รองลิ้นด้านนอกแตก b) รองลิ้นด้านนอกเกิดรู c) ฝ่าครอบป้องกันลูกปืนชำรุด d) แบร์จเกิดสนิม [14]

รูปที่ 2.16 แสดงการเปรียบเทียบสเปกตรัมกระแสสเตเตอร์ของความเสียหายชนิดที่ 1 กับมอเตอร์ปกติในสภาวะมอเตอร์ทำงานโหลดเต็มพิกัด (Full Load) พบร่วมสเปกตรัมกระแสสเตเตอร์ที่เกิดขึ้นเนื่องจากความเสียหายของแบร์จ มีขนาดสูงกว่ามอเตอร์ปกติ (Healthy Motor)



รูปที่ 2.16 การเปรียบเทียบสเปกตรัมกระถางสแตเตเตอร์ของความเสียหายชนิดที่ 1 [14]

M. Blodt, et al. [15] ได้เสนอรูปแบบใหม่ในการวิเคราะห์ความผิดปกติของแบร์จด้วยการวิเคราะห์สัญญาณกระถางสแตเตเตอร์ และการวิเคราะห์สัญญาณแรงบิดขณะมีโหลด พร้อมทดสอบและเปรียบเทียบมอเตอร์ที่ใช้แบร์จปกติและเสียหาย จากการวิเคราะห์สัญญาณกระถาง และแรงบิด รูปที่ 2.17 แสดงสเปกตรัมกระถาง และสเปกตรัมแรงบิดที่เกิดขึ้น พบว่าสเปกตรัมกระถางของแบร์จเสียหายจะปรากฏขึ้นที่บริเวณความถี่ของแหล่งจ่ายน้ำกลับกับความถี่ของสเปกตรัมแรงบิดที่ปรากฏขึ้นเนื่องจากความเสียหายของแบร์จ ซึ่งการวินิจฉัยความเสียหายของแบร์จจะมีประสิทธิภาพหากใช้เทคนิคการวิเคราะห์สัญญาณกระถาง ร่วมกับการวิเคราะห์สัญญาณแรงบิด



รูปที่ 2.17 สัญญาณของแบร์จที่เสียหาย a) สเปกตรัมกระถาง b) สเปกตรัมแรงบิด [15]

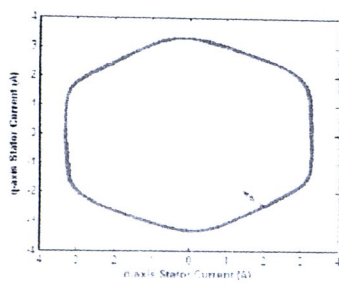
การวินิจฉัยความผิดปกติของแบร์จจากการวิเคราะห์สัญญาณกระถางสแตเตเตอร์สามารถนำการแปลงเวกเตอร์ปาร์ก (Park Vector Transform) มาประยุกต์ใช้กับการวิเคราะห์ความเสียหายที่เกิดขึ้นกับแบร์จของอินดักซ์มอเตอร์ 3 เฟสได้ ซึ่งวิธีการจะแตกต่างจากงานวิจัยที่กล่าวมา คือจะนำกระถางสแตเตเตอร์ของมอเตอร์แปลงให้อยู่ในรูปแบบของเวกเตอร์ปาร์ก โดยการแปลงสัญญาณกระถางสแตเตเตอร์ 3 เฟสให้

เหลือเพียงองค์ประกอบของเวกเตอร์ปาร์ค บนแกน d และแกน q ที่สามารถใช้ตรวจสอบความผิดปกติที่เกิดขึ้น การแปลงกระแสสเตเตเตอร์ของอินดักชั่นมอเตอร์ 3 เฟสให้อยู่ในองค์ประกอบของเวกเตอร์ปาร์ค แสดงดังนี้ [16, 17, 18, 19]

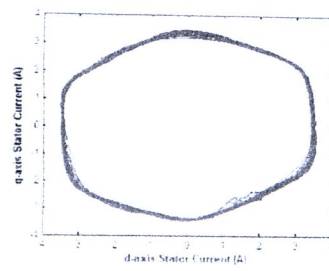
$$i_d = \sqrt{\frac{2}{3}} i_a - \frac{1}{\sqrt{6}} i_b - \frac{1}{\sqrt{6}} i_c \quad (2.30)$$

$$i_q = \frac{1}{\sqrt{2}} i_b - \frac{1}{\sqrt{2}} i_c \quad (2.31)$$

รูปที่ 2.18 แสดงองค์ประกอบของเวกเตอร์ปาร์คที่ถูกแปลงมาจากกระแสสเตเตเตอร์ของมอเตอร์ 3 เฟสพบว่า กรณีแบร์จเสียหายขององค์ประกอบ บนแกน d และแกน q กราฟจะมีรูปร่างลักษณะที่กระจายและเส้นหนากว่ามอเตอร์ปกติ



a)



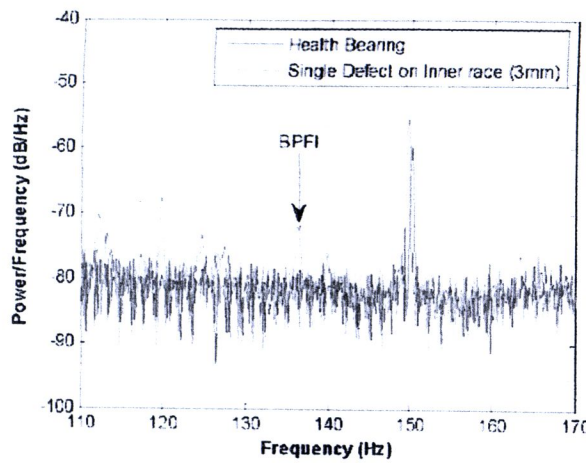
b)

รูปที่ 2.18 องค์ประกอบของเวกเตอร์ปาร์ค a) มอเตอร์ปกติ b) แบร์จเสียหาย [16]

จากองค์ประกอบของเวกเตอร์ปาร์ค บนแกน d และแกน q สามารถรวมเป็นองค์ประกอบเดียวตามสมการ (2.32) แล้วนำองค์ประกอบนี้ได้มาแปลงให้อยู่ในโคลเมนความถี่ เพื่อใช้ตรวจสอบความเสียหักที่เกิดขึ้นเนื่องจากแบร์จ [16, 17, 18]

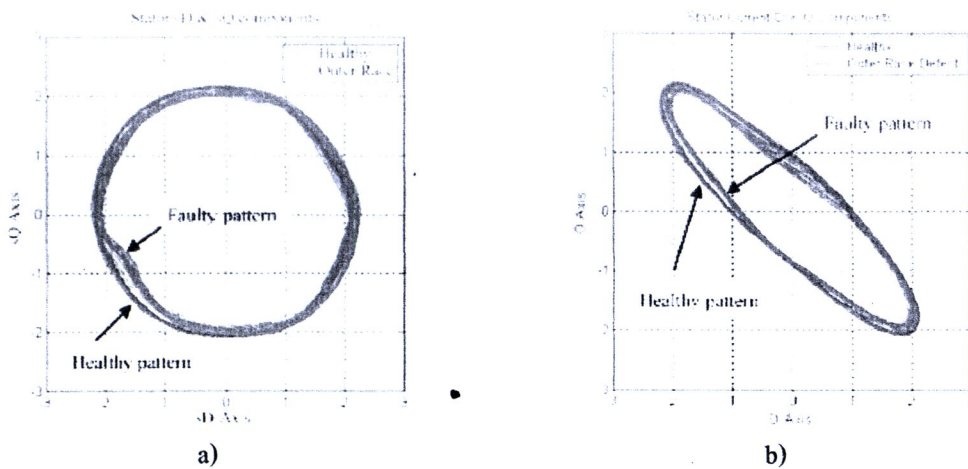
$$\left| i_d + j i_q \right|^2 \quad (2.32)$$

รูปที่ 2.19 แสดงการเบรย์บเทียบสเปคตรัมที่เกิดขึ้นจากการรวมองค์ประกอบของเวกเตอร์ปาร์คตามสมการ (2.32) พนว่าเมื่อแบร์จเกิดการเสียหายที่ร่องลิ่นด้านใน (Inner Raceway) ขนาด 3 มิลลิเมตร สเปคตรัมที่เกิดจากความเสียหายจะปรากฏขึ้นบริเวณที่ได้ทำนายไว้



รูปที่2.19 สเปกตรัมขององค์ประกอบเวกเตอร์ปาร์ค [16]

งานที่สนับสนุนการวิเคราะห์สัญญาณกระแส โดยใช้เทคนิคการแปลงเวกเตอร์ปาร์คและนำไปพัฒนาใช้ให้มีประสิทธิภาพมากขึ้น โดยทีมงานวิจัยที่ประกอบด้วย Izzet Yilmaz Onel และ Mohamed El Hachemi Benbouzid [19] ได้พัฒนาองค์ประกอบของการแปลงเวกเตอร์ปาร์ค โดยการนำองค์ประกอบบนแกน  $d$  และแกน  $q$  แปลงให้อยู่ในโคงออร์ดิเนต (Coordinate) ใหม่ ที่ขึ้นอยู่กับความเร็วของโรเตอร์ และผลที่ได้สามารถนำมานับถ่วงของนิodic ความเสียหายที่เกิดขึ้นกับแบบร่างได้ โดยนำข้อมูลมาประยุกต์ใช้งานร่วมกับโครงข่ายประสาทเทียม (Neural Network) และฟازซี่ลوجิก (Fuzzy Logic) จากรูปที่2.20 แสดงการเปรียบเทียบวิธีการแปลงเวกเตอร์ปาร์ค และวิธีการแปลงในโคงออร์ดิเนตใหม่ ทั้งสองวิธีสามารถนับถ่วงของความเสียหายของแบบร่างได้



รูปที่2.20 การวิเคราะห์กระแสสเตเตอร์ a) วิธีเวกเตอร์ปาร์ค b) วิธีโคงออร์ดิเนตใหม่ [17]